

ANEXO I: Gráficas de velocidad de conversión instantánea de char en función de la conversión del char y de eficacia de combustión de char en función de la conversión de TO

Se presentan a continuación las gráficas elaboradas durante los experimentos donde se representan las velocidades de conversión instantánea de char en función de la conversión del char y de eficacias de combustión de char en función de la conversión de TO para los distintos tipos de TO con sus variaciones en temperatura, agente gasificante y tipo de char alimentado.

AI.1 Experimentos con TO_mineral

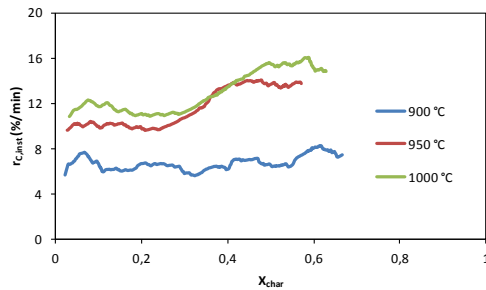


Figura AI.1: Velocidad de conversión de char sudafricano en función de la conversión de char con H_2O como agente gasificante a diferentes temperaturas con TO_mineral.

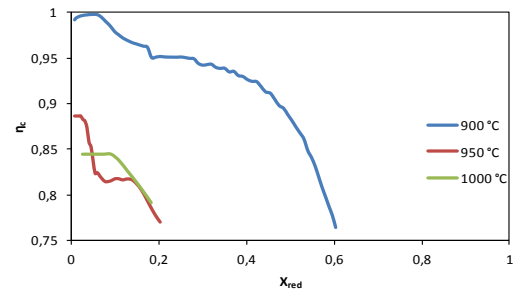


Figura AI.2: Eficacia de combustión de char sudafricano en función de la conversión de TO_mineral con H_2O de agente gasificante a diferentes temperaturas.

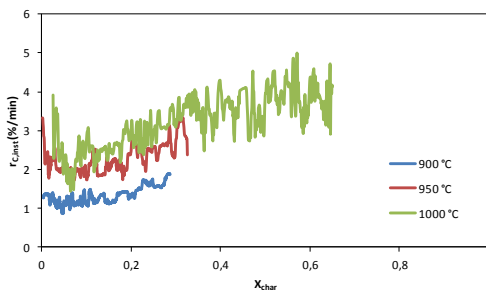


Figura AI.3: Velocidad de conversión de char sudafricano en función de la conversión de char con CO_2 como agente gasificante a diferentes temperaturas con TO_mineral.

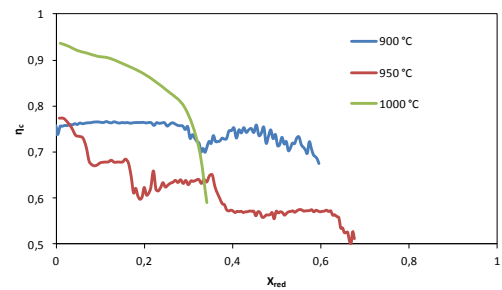


Figura AI.4: Eficacia de combustión de char sudafricano en función de la conversión de TO_mineral con CO_2 de agente gasificante a diferentes temperaturas.

AI.2 Experimentos con TO_residuo

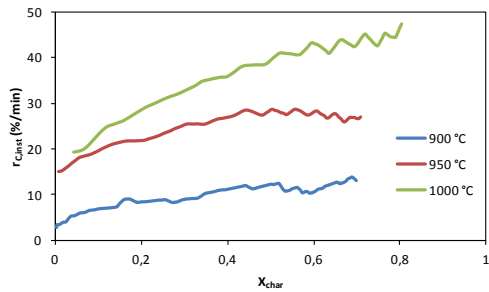


Figura AI.5: Velocidad de conversión de char sudafricano en función de la conversión de char con H_2O como agente gasificante a diferentes temperaturas con TO_residuo.

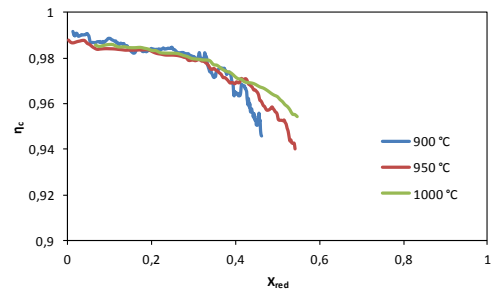


Figura AI.6: Eficacia de combustión de char sudafricano en función de la conversión de TO_residuo con H_2O de agente gasificante a diferentes temperaturas.

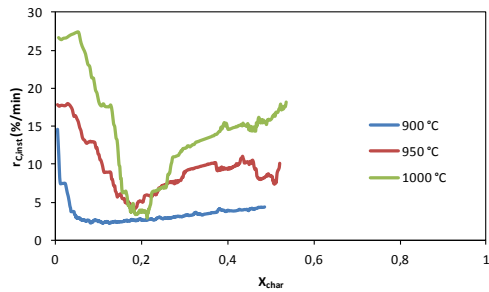


Figura AI.7: Velocidad de conversión de char sudafricano en función de la conversión de char con CO_2 como agente gasificante a diferentes temperaturas con TO_residuo.

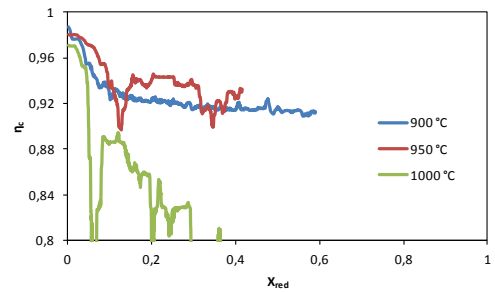


Figura AI.8: Eficacia de combustión de char sudafricano en función de la conversión de TO_residuo con CO_2 de agente gasificante a diferentes temperaturas.

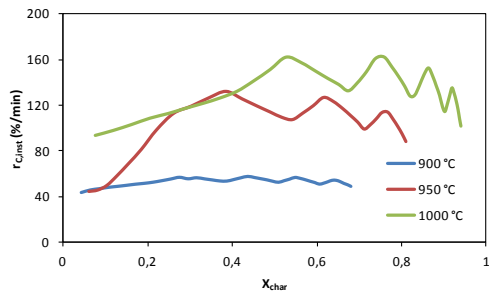


Figura AI.9: Velocidad de conversión de char lignito en función de la conversión de char con H_2O como agente gasificante a diferentes temperaturas con TO_residuo.

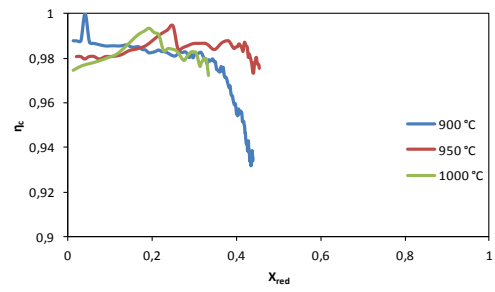


Figura AI.10: Eficacia de combustión de char lignito en función de la conversión de TO_residuo con H_2O de agente gasificante a diferentes temperaturas.

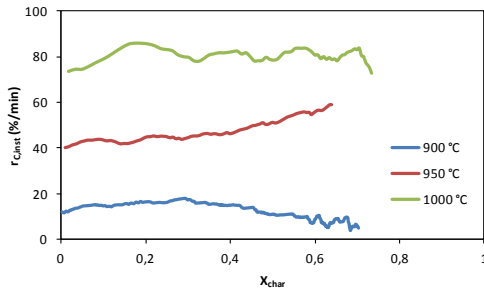


Figura AI.11: Velocidad de conversión de char lignito en función de la conversión de char con CO_2 como agente gasificante a diferentes temperaturas con $\text{TO}_{\text{residuo}}$.

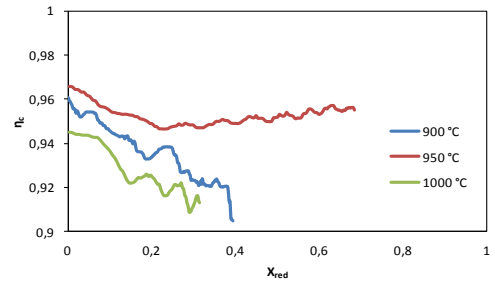


Figura AI.12: Eficacia de combustión de char lignito en función de la conversión de $\text{TO}_{\text{residuo}}$ con CO_2 de agente gasificante a diferentes temperaturas.

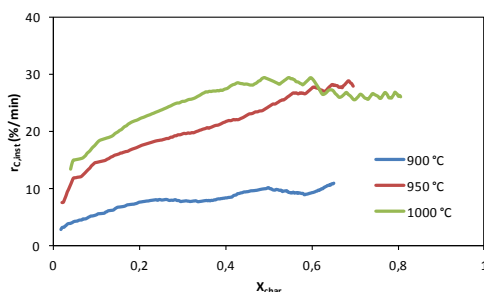


Figura AI.13: Velocidad de conversión de char antracita en función de la conversión de char con H_2O como agente gasificante a diferentes temperaturas con $\text{TO}_{\text{residuo}}$.

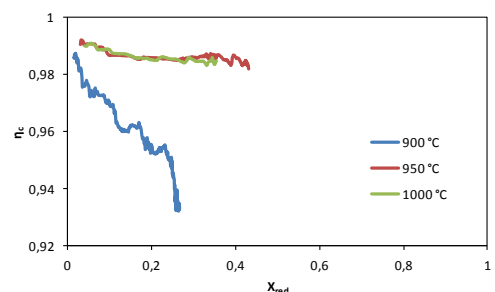


Figura AI.14: Eficacia de combustión de char antracita en función de la conversión de $\text{TO}_{\text{residuo}}$ con H_2O de agente gasificante a diferentes temperaturas.

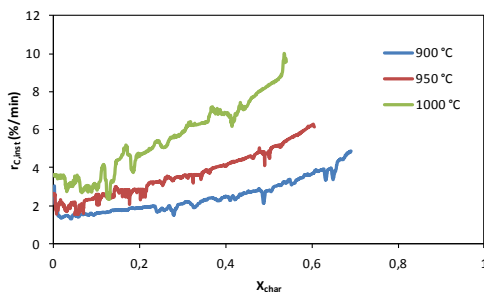


Figura AI.15: Velocidad de conversión de char antracita en función de la conversión de char con CO_2 como agente gasificante a diferentes temperaturas con $\text{TO}_{\text{residuo}}$.

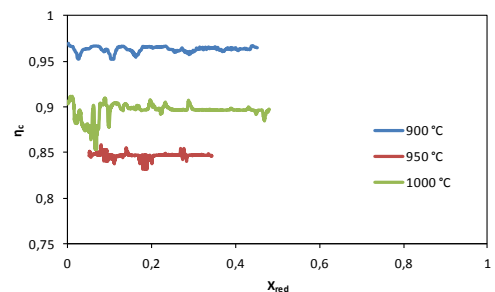


Figura AI.16: Eficacia de combustión de char antracita en función de la conversión de $\text{TO}_{\text{residuo}}$ con CO_2 de agente gasificante a diferentes temperaturas.

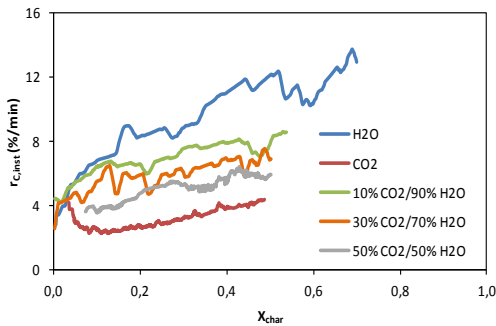


Figura AI.17: Velocidad de conversión de char sudafricano en función de la conversión de char a 900 °C con diferentes agentes gasificantes con TO_residuo.

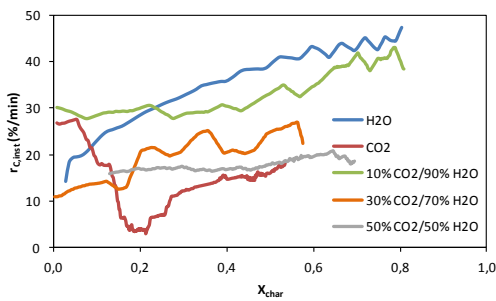


Figura AI.19: Velocidad de conversión de char sudafricano en función de la conversión de char a 1000 °C con diferentes agentes gasificantes con TO_residuo.

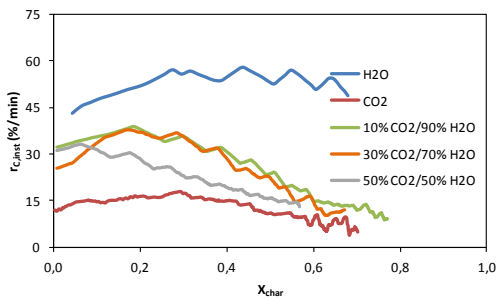


Figura AI.21: Velocidad de conversión de char lignito en función de la conversión de char a 900 °C con diferentes agentes gasificantes con TO_residuo.

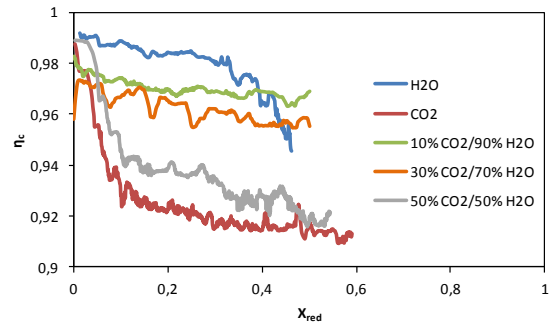


Figura AI.18: Eficacia de combustión de char antracita en función de la conversión de TO_residuo a 900 °C con diferentes agentes gasificantes.

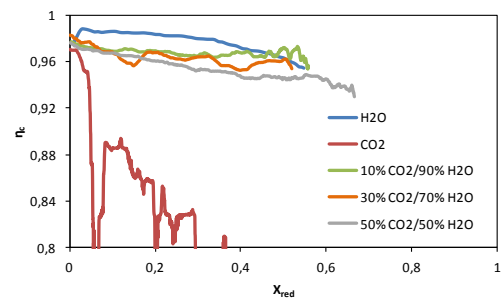


Figura AI.20: Eficacia de combustión de char antracita en función de la conversión de TO_residuo a 1000 °C con diferentes agentes gasificantes.

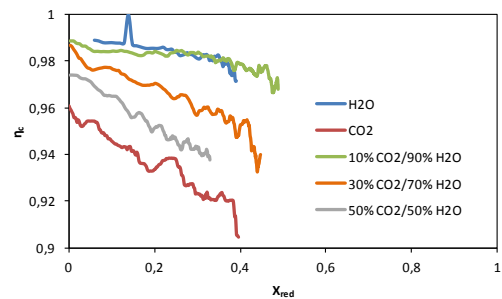
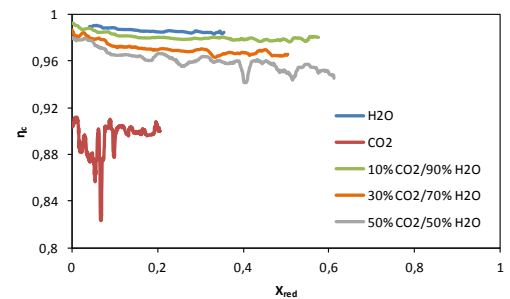
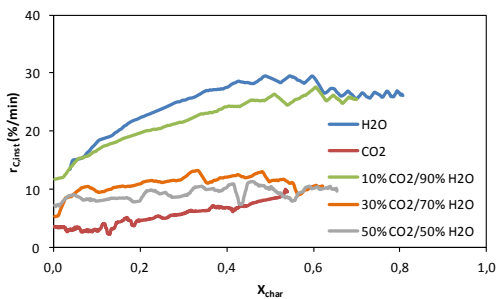
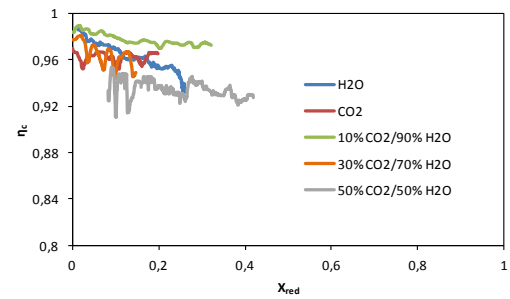
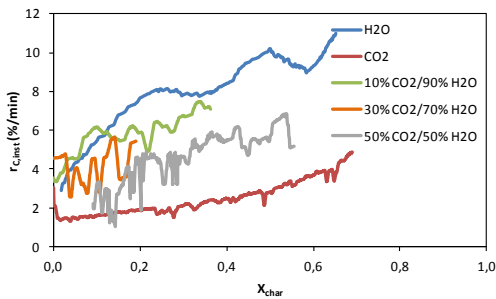
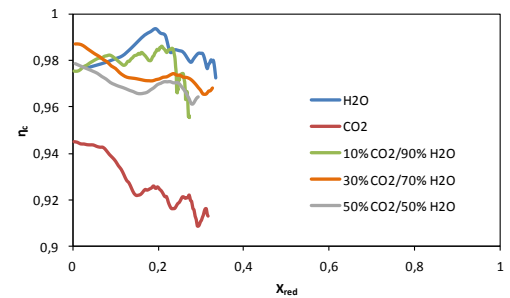
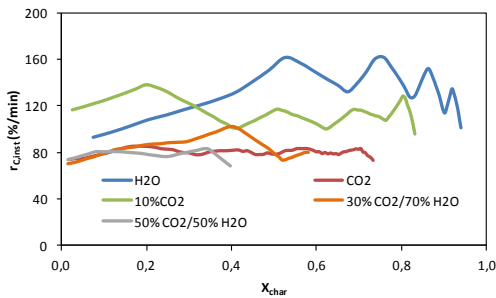


Figura AI.22: Eficacia de combustión de char lignito en función de la conversión de TO_residuo a 900 °C con diferentes agentes gasificantes.



AI.2 Experimentos con TO_sintético

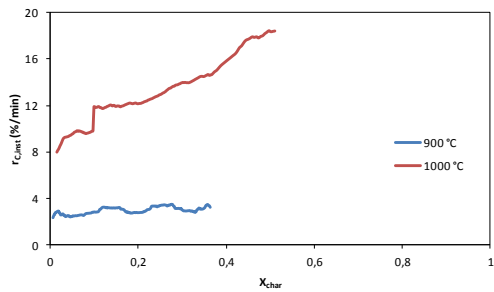


Figura 5.51: Velocidad de conversión de char sudafricano en función de la conversión de char con H_2O de agente gasificante a diferentes temperaturas

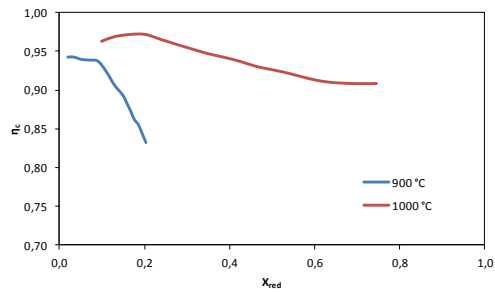


Figura 5.52: Eficacia de combustión de char sudafricano en función de la conversión de TO_sintético con H_2O de agente gasificante a diferentes temperaturas

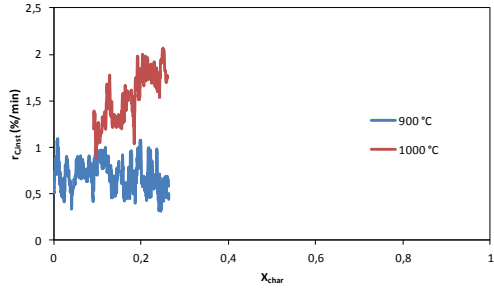


Figura 5.53: Velocidad de conversión de char sudafricano en función de la conversión de char con CO_2 de agente gasificante a diferentes temperaturas

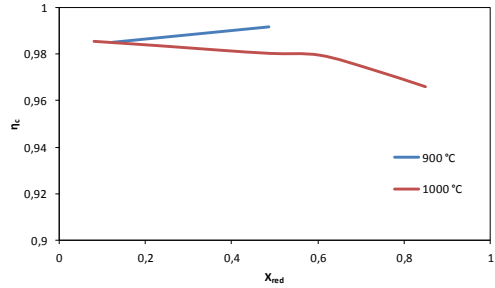


Figura 5.54: Eficacia de combustión de char sudafricano en función de la conversión de TO_sintético con CO_2 de agente gasificante a diferentes temperaturas